

# Apprentissage de systèmes dynamiques à partir d'observations

AVERTY Tristan, Master 1 Mathématiques et Interactions, La Rochelle Université

« Il est possible d'apprendre des dynamiques très complexes avec seulement des informations partielles »

## 1 Objectifs

- **Prévoir** l'évolution de processus complexes et non-linéaires à partir d'observations ;
- Palier le **manque d'informations** lié à l'observation ;
- Utiliser un **réseau de neurones** pour estimer le terme évolutif du processus ;
- **Évaluer la méthode** sur des équations de dynamiques des fluides et sur des expérimentations climatiques ;
- Obtenir des résultats **sans imposer d'a priori** sur la forme de l'équation étudiée.

## 2 Problème

- $\Omega \subset \mathbb{R}^d$  : **domaine spatial** d'étude ;

- **Processus spatio-temporel** :

$$X : \mathbb{R}_+ \times \Omega \longrightarrow \Omega$$

$$(t, x) \longmapsto X_t$$

- $X_t$  : **état** du système à un instant  $t$  ;

- $X_t$  suit une **équation d'évolution**

$$\frac{dX_t}{dt} = F(X_t) \quad (1)$$

avec  $F$  non linéaire et complexe ;

- **Enjeu** : « trouver » ce  $F$ .

## 3 Introduction & notions

- $\{F_\theta\}$  : ensemble de fonction admissibles ;

- Chercher  $\theta$  tel que la solution  $X^\theta$  de

$$\frac{dX_t}{dt} = F_\theta(X_t) \quad (2)$$

soit en accord avec les données mesurées.

- On observe rarement l'état du système  $X_t$  complet (**observations**) ;

- $\mathcal{H}$  : **opérateur d'observation** supposé connu, fixé et différentiable ;

- $Y_t$  : **informations observées** à partir de l'état  $X_t$  ;

- $X_0$  : **condition initiale** de notre processus.

On a donc le problème ci-dessous :

$$\begin{cases} X(0, x) = X_0 \\ \frac{dX_t}{dt} = F(X_t) \\ Y_t = \mathcal{H}(X_t) \end{cases} \quad (3)$$

## 4 Contrôle optimal

- Lien entre réseaux résiduels et systèmes dynamiques ;

- **Variables de contrôles** correspondent aux paramètres du réseau ;

- **Fonction coût** :

$$\mathcal{J}(Y, \tilde{Y}) = \int_0^T \|Y_t - \tilde{Y}_t\|_{L^2(\Omega)}^2 dt$$

- $Y$  : **observations** du système ;
- $\tilde{Y}$  : **sortie** du système.

- $X_t$  vérifie (2) donc on a le problème

$$\min_{\theta} \mathbb{E}_{Y \in \text{Dataset}} [\mathcal{J}(Y, \mathcal{H}(X))] \quad (4)$$

$$\text{s.c } \begin{cases} \frac{dX_t}{dt} = F_\theta(X_t) \\ X_0 = g_\theta(Y_{-k}, \check{X}_0) \end{cases}$$

- $F_\theta$  : **trajectoire** de  $X$  ;
- $g_\theta$  : **condition initiale** ;
- $Y_{-k} = \{Y_{-k+1}, \dots, Y_0\}$ .

- On note  $X^\theta$  la **solution du problème** (4).

## 5 Calcul du gradient par état adjoint

- Méthode de **descente de gradient** :

$$\text{Dériver } \theta \longmapsto \mathbb{E}_Y [\mathcal{J}(Y, \mathcal{H}(X^\theta))] \iff \text{Calculer } \frac{\partial \mathcal{J}}{\partial \theta} \text{ (ce qui est difficile)}$$

- Définir le **lagrangien**

$$\mathcal{L}(X, \lambda, \mu, \theta) = \mathcal{J}(X) + \int_0^T \left\langle \lambda_t, \frac{dX_t}{dt} - F_\theta(X_t) \right\rangle dt + \langle \mu, X_0 - g_\theta \rangle \quad (5)$$

- **Équation de l'état adjoint** :

$$\partial_\theta \mathcal{J}(X^\theta) = - \int_0^T \langle \lambda_t, \partial_\theta F_\theta(X_t^\theta) \rangle dt + \langle \lambda_0, \partial_\theta g_\theta \rangle \quad (6)$$

où  $\lambda$  est solution de

$$\partial_t \lambda_t = A_t \lambda_t + B_t \quad (7)$$

résolu *backward* en prenant  $\lambda_T = 0$  avec

$$A_t = -(\partial_X F_\theta(X_t^\theta))^*$$

$$B_t = 2(\partial_X \mathcal{H}(X_t^\theta))^* (\mathcal{H}(X_t^\theta) - Y_t)$$

## 6 Algorithme principal

**Input:**

- Échantillons  $\left\{ \left( Y_{-k}, \check{X}_0 \right), Y_\ell \right\}$
- Paramètre initial  $\theta$

**while** ne converge pas **do**

Sélectionner  $\left\{ \left( Y_{-k}, \check{X}_0 \right), Y_\ell \right\}$

**if** état initial complètement observé

**then**

$X_0 \leftarrow \check{X}_0$

**end**

**else**

$X_0 \leftarrow g_\theta \left( Y_{-k}, \check{X}_0 \right)$

**end**

Résoudre *forward*

$$\frac{dX_t}{dt} = F_\theta(X_t), X(0) = X_0, t \in [0, \ell]$$

Résoudre *backward*

$$\frac{d\lambda_t}{dt} = A_t \lambda_t + B_t, \lambda_\ell = 0, t \in [0, \ell]$$

Calculer le gradient  $\partial_\theta \mathcal{J}(X^\theta)$

Mettre à jour  $\theta$  dans la direction de plus forte pente

**end**

**Output:** Paramètre appris  $\theta$

## 7 Barré de Saint-Venant

- **Discretisation spatiale** :  $80 \times 80$  (1600 acquisitions) ;

- **Train / test** : 37,5 % / 62,5 % ;

- **État complet** comme entrée initiale ;

- Modèle capable de prévoir les observations en **temps long** ;

- Prédit l'**état complet**  $X_t$  et pas seulement les observations  $Y_t$  (présence d'états cachés).

## 8 Glorys2v4

- Température de la surface de la mer ;

- **Pas de temps** : 1 jour ;

- **Discretisation spatiale** : sous-régions de  $64 \times 64$  ;

- **Train / test** : 93,8 % / 6,2 % ;

- Entrée : état complet **non disponible** ;

- Problème de **conditions aux bords** : travail sur une petite zone alors que le modèle fonctionne sur une plus grande zone ;

## 9 Détails de l'implémentation

- **Estimation** de  $\mathcal{J}$  : **sélection** d'un petit sous-ensemble des données et **optimisation** par descente de gradient stochastique ;

- $F_\theta$  : **réseau résiduel standard** avec 2 couches de sous-échantillonnages et 6 blocs résiduels ;

- **Discretisation** de l'équation *forward* : simple **schéma d'Euler** avec

- $\Delta t = 1/3$  ;
- $\Delta x$  imposé par les données.

- **Initialisation orthogonale** des poids du réseau résiduel ;

- **Taux d'apprentissage** :  $10^{-5}$  ;

- Bibliothèque Deep Learning : **Pytorch**.

## 10 Comparaisons

Résultats quantitatifs avec Glorys2v4 :

Modèles	$K = 5$	$K = 10$
Modèle présenté	0.124	0.231
Modèle présenté (avec estimations)	<b>0.113</b>	<b>0.209</b>
PKnl	0.145	0.250
ConvLSTM	0.137	0.224

TABLE 1 : Erreur quadratique moyenne entre les observations prédites et la vérité terrain pour différents horizons  $K$  (le plus faible est le mieux).

où

- PKnl est un modèle de deep-learning intégrant la **connaissance physique** ;
- ConvLSTM est un modèle de *long short-term memory* utilisant des **transitions convolutionnels**.

## 11 Conclusion

- **Prédiction** de l'évolution d'un système **complexe** et **non linéaire** et lorsque l'état n'est **pas entièrement observé** ;

- **Estimation** du paramètre d'évolution avec un réseau de neurones ;

- **Algorithme d'apprentissage** : théorie du **contrôle optimal** ;

- Méthode capable

- de produire des prévisions de haute qualité à **différents horizons** ;
- d'apprendre avec une bonne précision la **dynamique des états sous-jacents**

MAIS :

- On pourrait **trouver directement**  $T$  tel que  $X_{t+\Delta t} = T(X_t)$  sans voir  $X$  comme résultant d'une équation différentielle ;

- **Discretisation explicite** : limitations de la classe d'équations (équations raides nécessitent des **méthodes implicites**).

- Que se passerait-il si l'opérateur  $\mathcal{H}$  était **plus complexe** ?

## Référence

- [1] I. Ayed E. de Bézenac. *Learning Dynamical Systems from Partial Observations*.

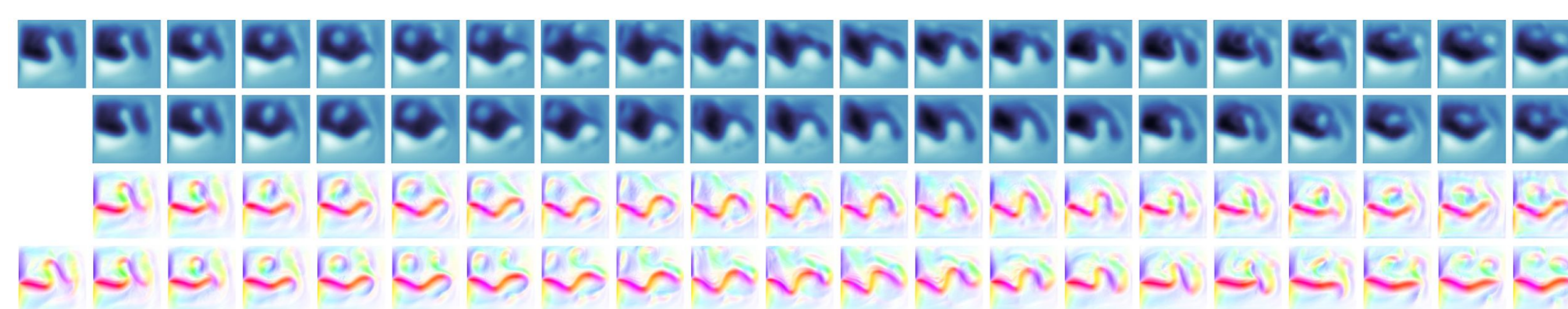


FIGURE 1 : Prédiction du modèle de Barré de Saint-Venant. De haut en bas : entrée et observations cibles, sortie du modèle, état caché estimé, et état caché de la vérité terrain

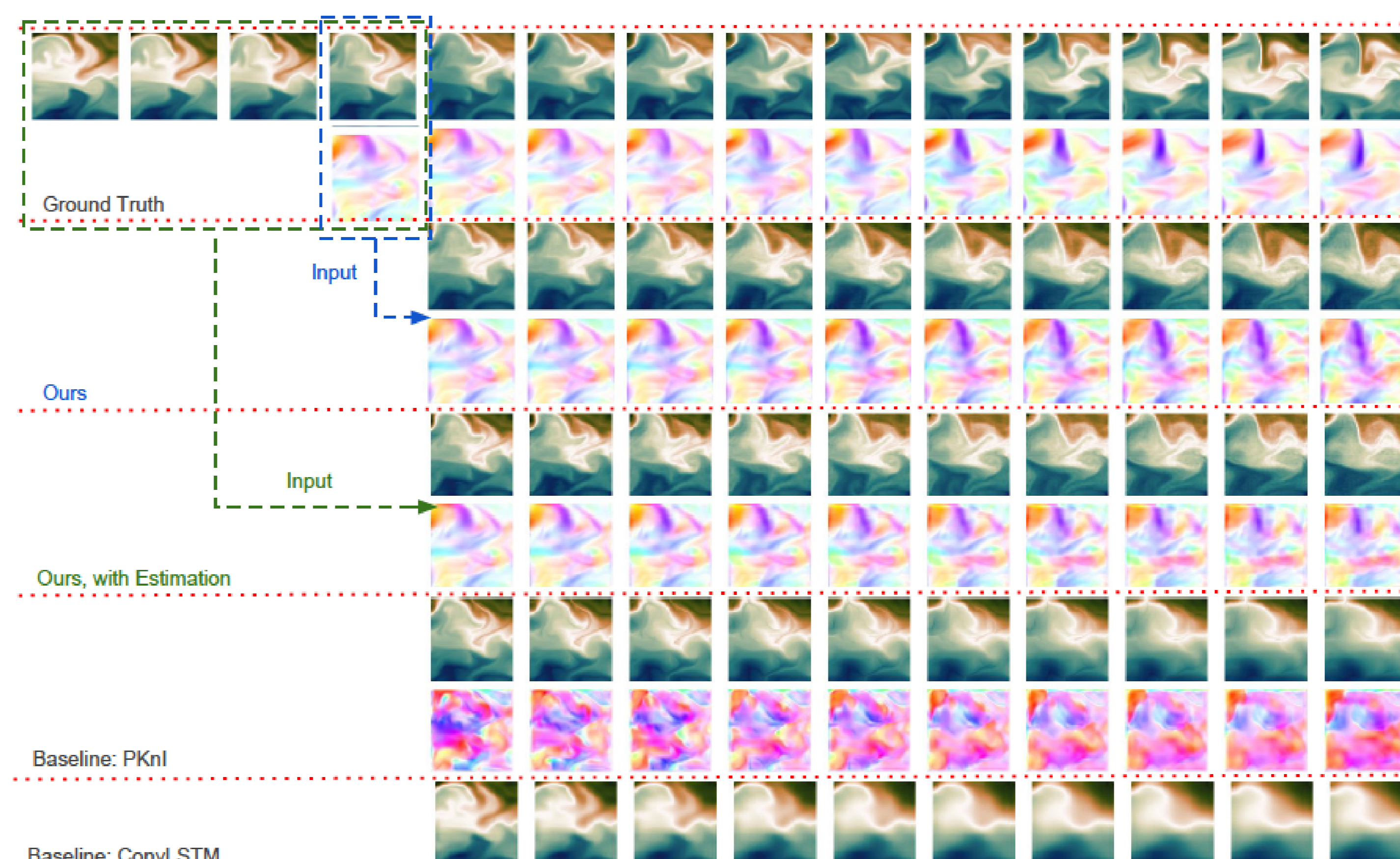


FIGURE 2 : Prédiction du modèle Glorys2v4. De haut en bas : entrée et observations cibles ainsi que l'état caché de la vérité terrain associé, les sorties du modèle, la variante du modèle lorsque les conditions initiales sont estimées à partir des observations, les sorties du PKnl et du ConvLSTM.